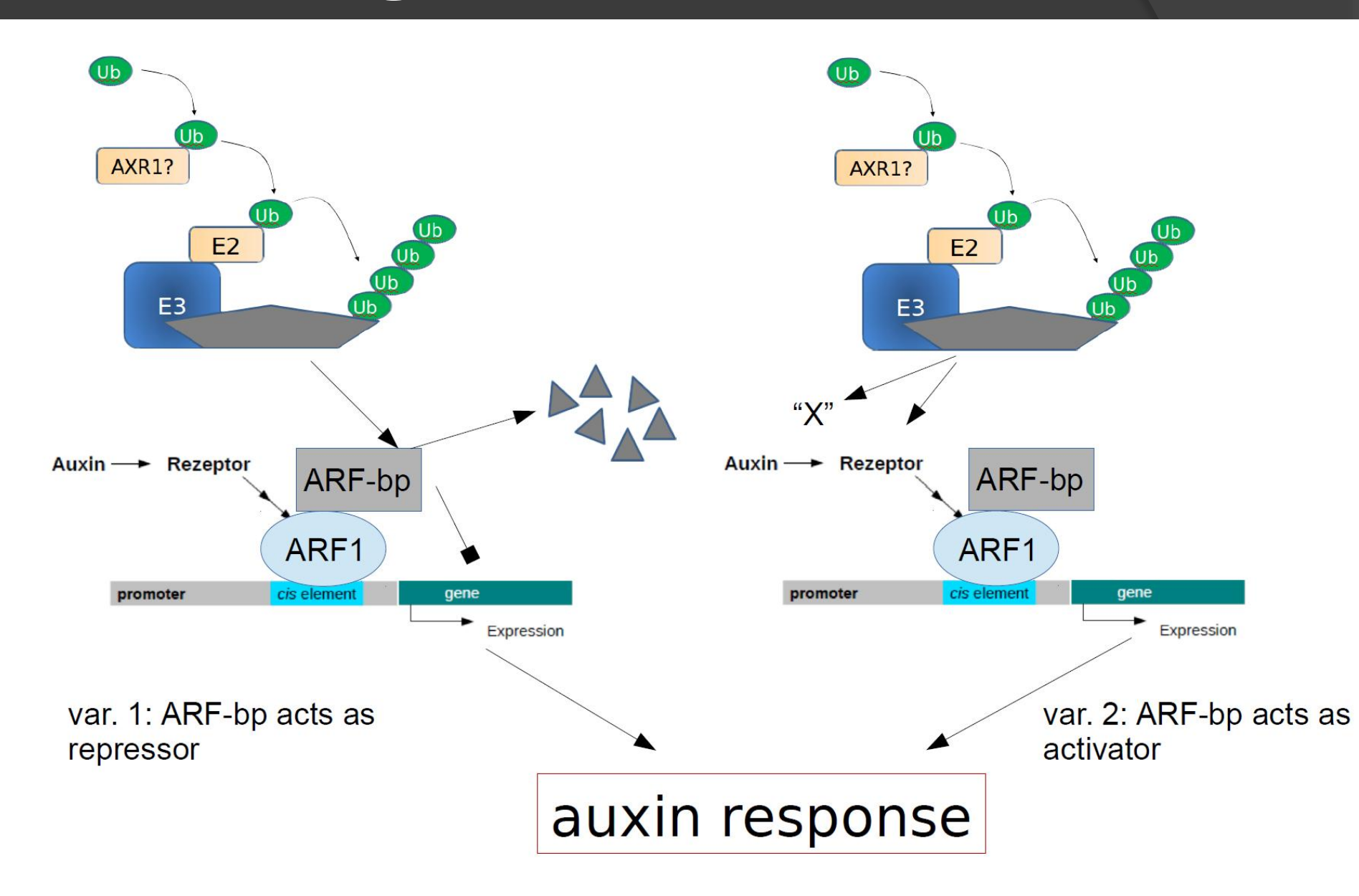
# The TIR1 protein of *Arabidopsis* functions in auxin response and is related to human SKP2 and yeast Grr1p

Max Ruegger, Elizabeth Dewey, William M. Gray, Lawrence Hobbie, Jocelyn Turner, and Mark Estelle 3

Department of Biology, Indiana University, Bloomington, Indiana 47405 USA

Präsentiert von Christina Staudigl

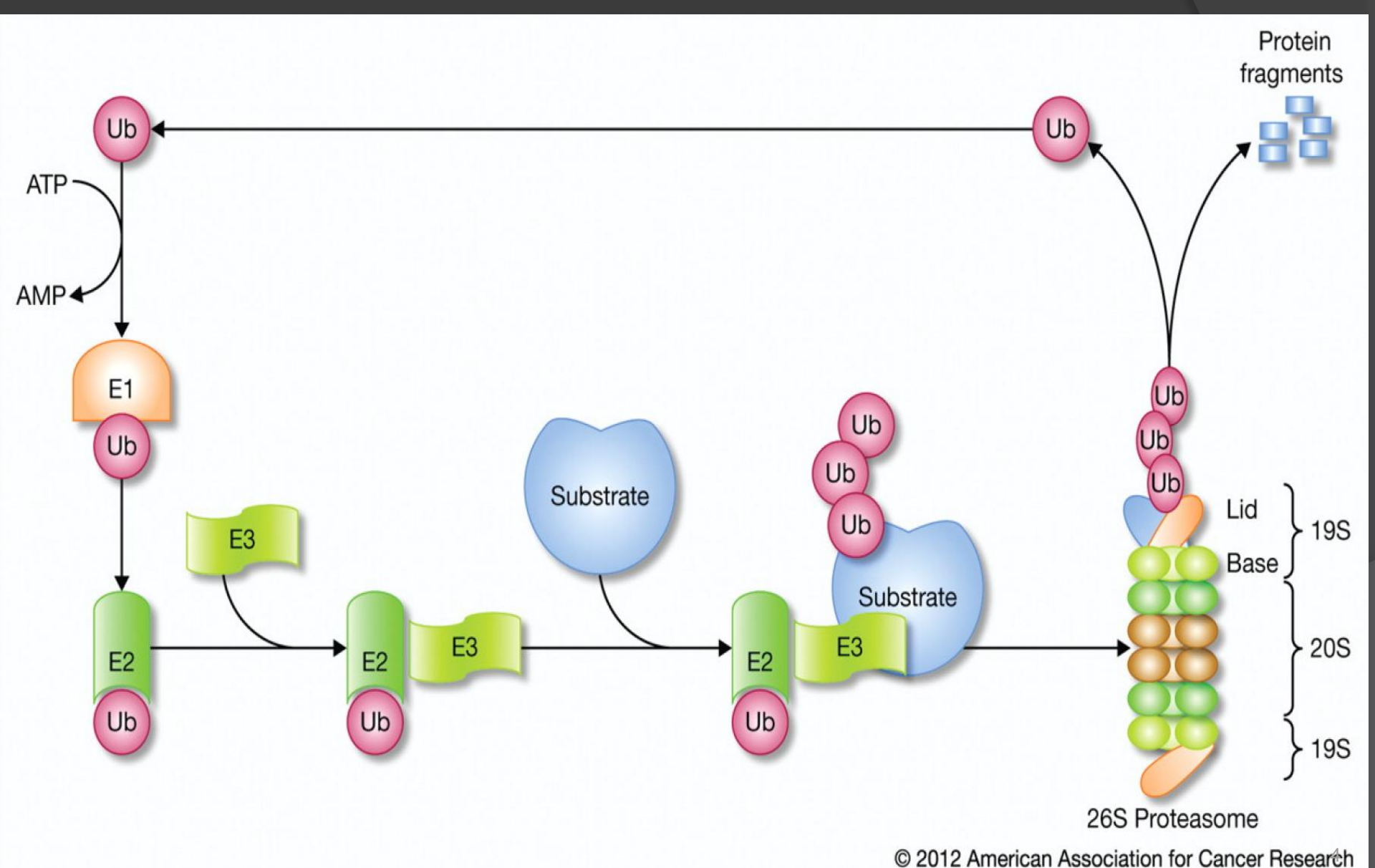
#### Was bisher geschah



#### Was bisher geschah

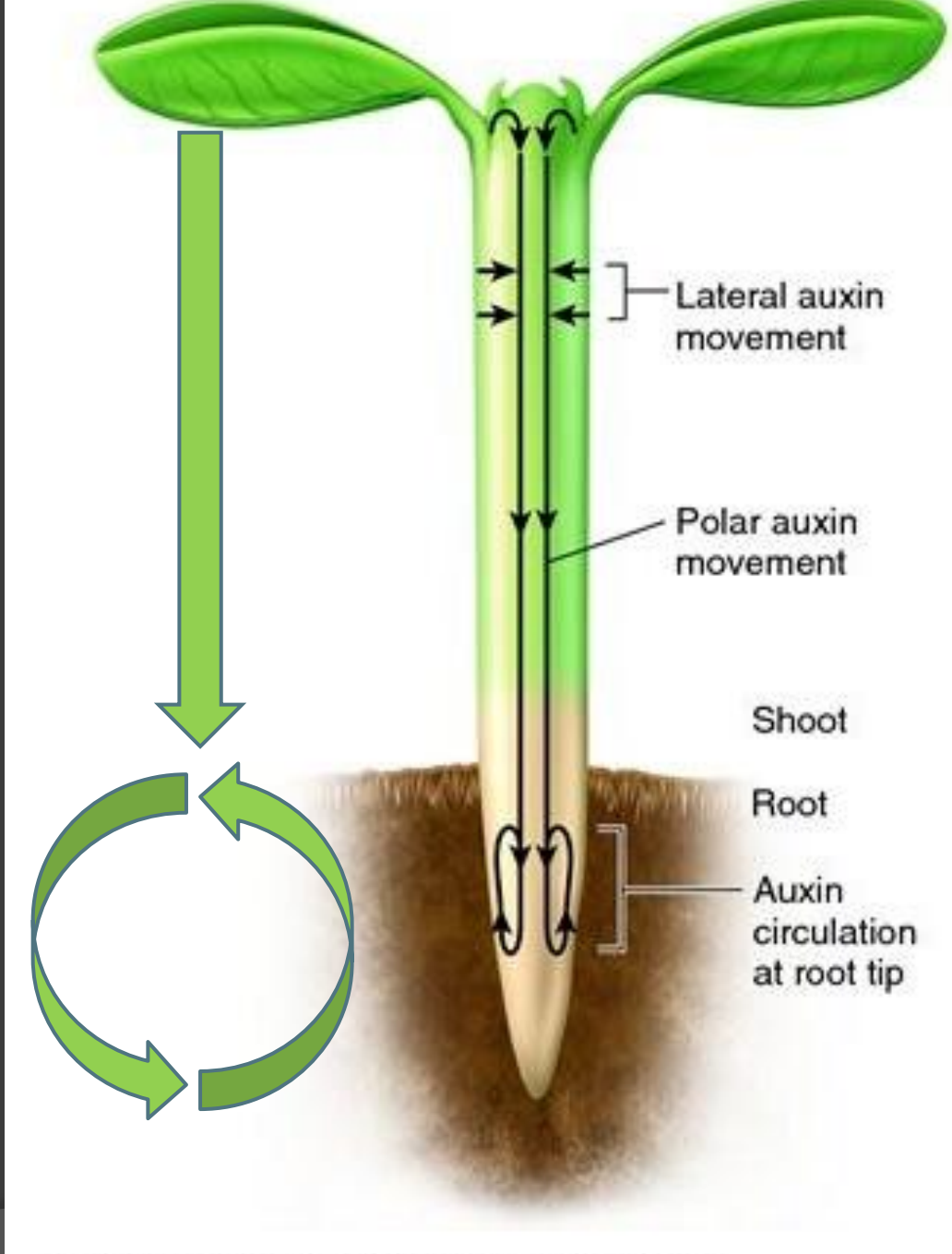
- Neues aus der Signaltransduktion? nichts wirklich grundlegendes
- Aber: mehr ARFs gefunden (10x) mit leichten Unterschieden in der Bindespezifität zum AUxRE (TGTCTC) - Dimerisierung der ARFs als hypothetische differentielle Regulation der Auxinantwort
- weitere Mutanten identifiziert:
  - axr Mutanten (aus gleichem screen aber nicht allelisch zu axr1)
  - aux1 → putatives Transportprotein?
  - + tir mutant screen → Isolierung von Mutanten mit erhöhter Resistenz gegenüber Transportinhibitoren

#### Erinnerung: Ubiquitin-Proteasom-System

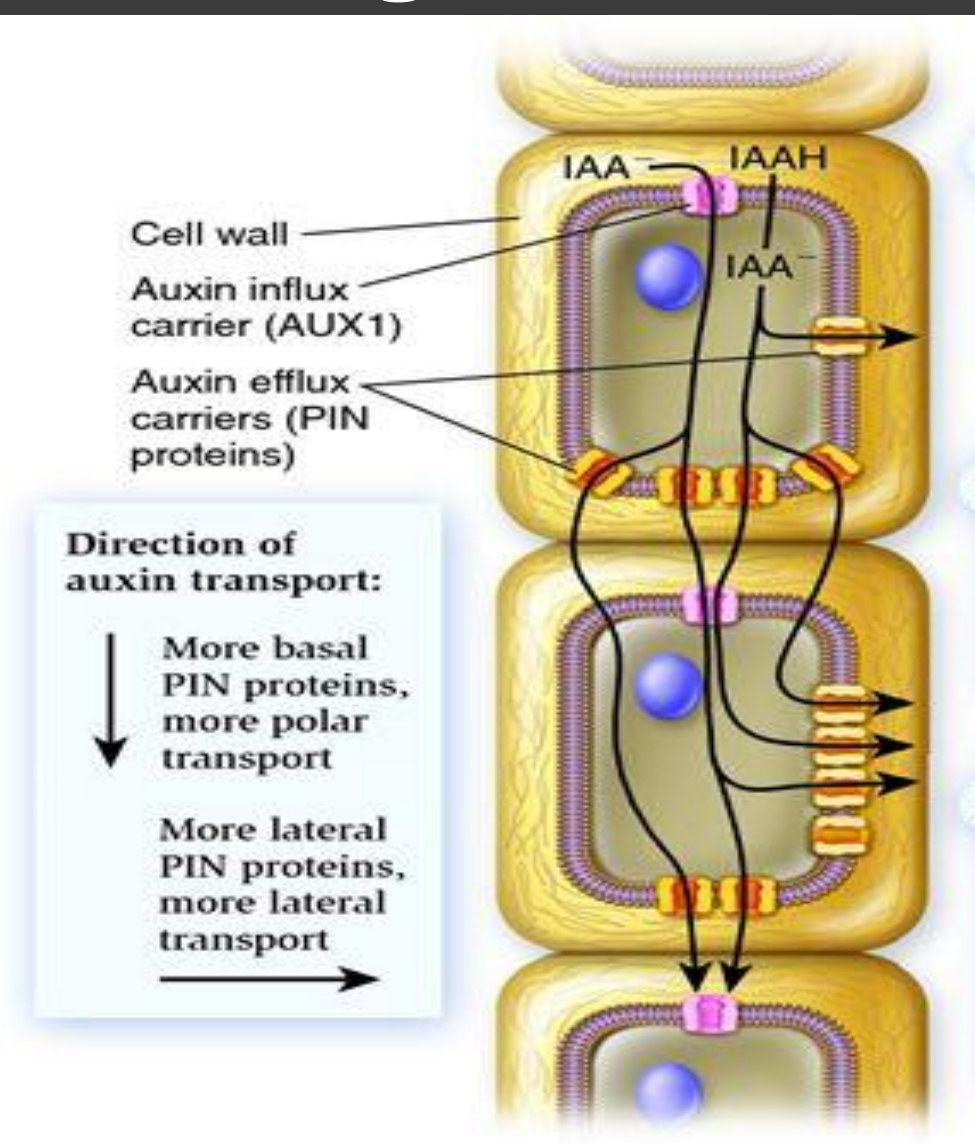


#### Erinnerung: Auxin Transport

http://biologyforums.com/gallery/33\_24\_ 07\_11\_10\_45\_29.jpeg

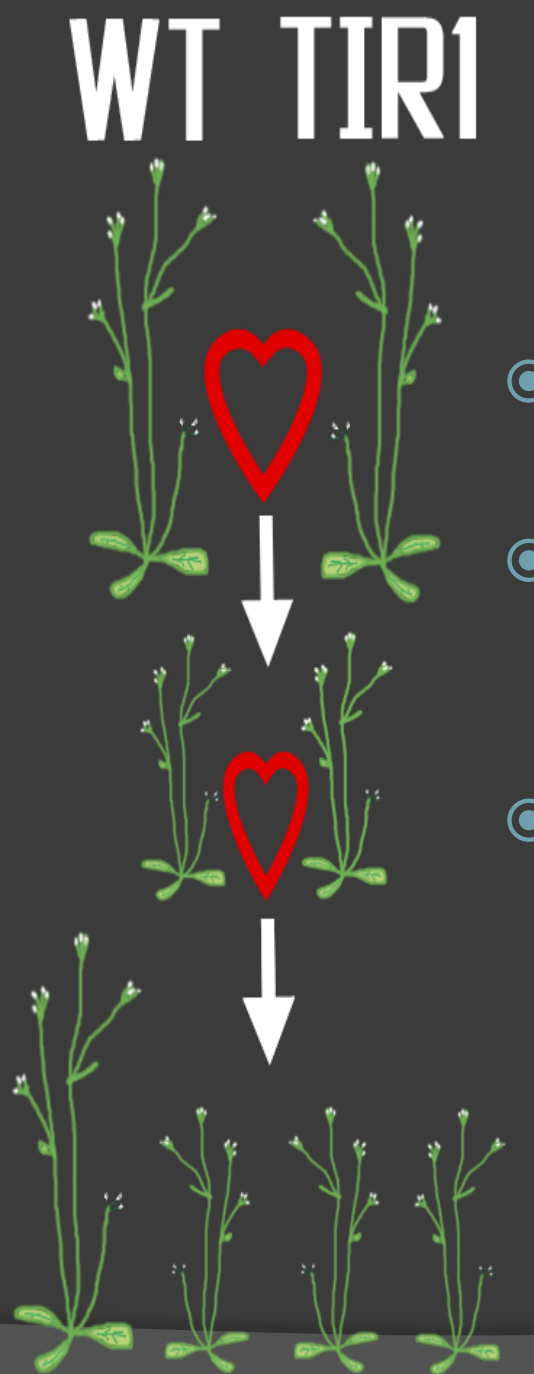


#### Erinnerung: Auxin Transport



- 1 Auxin diffuses into cells as the uncharged form IAAH or enters as the anion IAA<sup>-</sup> via an auxin influx carrier. Once inside, IAAH becomes IAA<sup>-</sup>.
- Auxin exits cells as an anion via auxin efflux carriers— PIN proteins—which occur in different types, including basal and lateral.
- 3 The locations of AUX1 and PIN proteins determine the direction of auxin movement through living tissues. Changes in PIN protein location may alter the direction of auxin flow.

- (a) Cellular mechanism of auxin transport
- http://biology-forums.com/gallery/33\_24\_07\_11\_10\_45\_29.jpeg



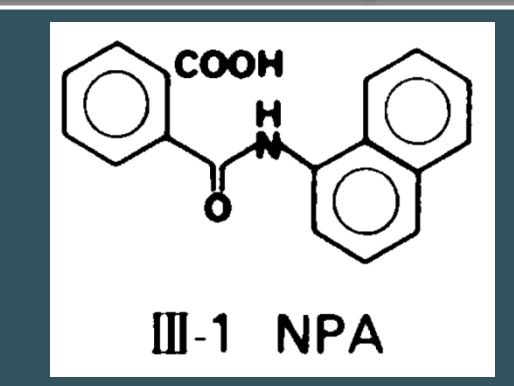
Ergebnisse: Genetische

Charakterisierung der tir1-Mutanten

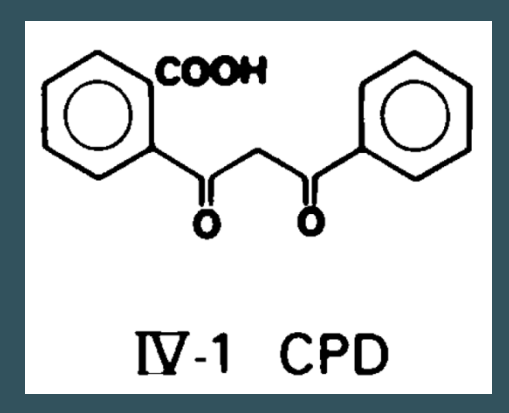
Methode:

WT mit tir-Mutanten kreuzen

- F1, F2, F3 screenen mit Auxin-Transport-Inhibitor CPD
- Wurzellänge als
   Kriterium längere
   Wurzel als WT heißt:
   resistent(er) gegen
   Auxin-Transport Inhibitor



1-N-NAPHTHYLPHTHALAMIC ACID



Auxin Transport Inhibitors IV.
EVIDENCE OF A COMMON MODE OF
ACTION FOR A PROPOSED CLASS
OF AUXIN TRANSPORT INHIBITORS:
THE PHYTOTROPINS
GERARD F. KATEKAR AND ART E.
GEISSLER

**Table 1.** Segregation of CPD resistance in a tir1-2 × wildtype  $F_2$  population

| F <sub>2</sub> root<br>length | F <sub>2</sub> genotype <sup>1</sup> |                             |      |  |
|-------------------------------|--------------------------------------|-----------------------------|------|--|
| (mm)                          | tir1/tir1 <sup>2</sup>               | <i>tir1</i> /+ <sup>2</sup> | +/+2 |  |
| 17                            | 2                                    |                             |      |  |
| 16                            | 5                                    |                             |      |  |
| 15                            | 1                                    |                             |      |  |

**Table 2.** *CPD resistance in* tir *homozygous* and *heterozygous* plants

| Line  | Root length<br>(mm) | ±S.E. | No. |
|---|---------------------|-------|-----|
| +/+ tir1-1/tir1-1 tir1-3/tir1-3 tir1-7/tir1-7 | 7.8                 | 0.1   | 32  |
|   | 15.7                | 0.3   | 33  |
|   | 15.8                | 0.4   | 34  |
|   | 13.0                | 0.5   | 33  |
| tir1-1/+                                      | 10.9                | 0.3   | 15  |
| tir1-3/+                                      | 12.5                | 0.3   | 17  |
| tir1-7/+                                      | 12.6                | 0.2   | 17  |

 $^1\mbox{Genotype}$  determined by analyzing CPD resistance in  $\mbox{F}_3$  plants.

27

14

<sup>2</sup>Number of seedlings.

Totals

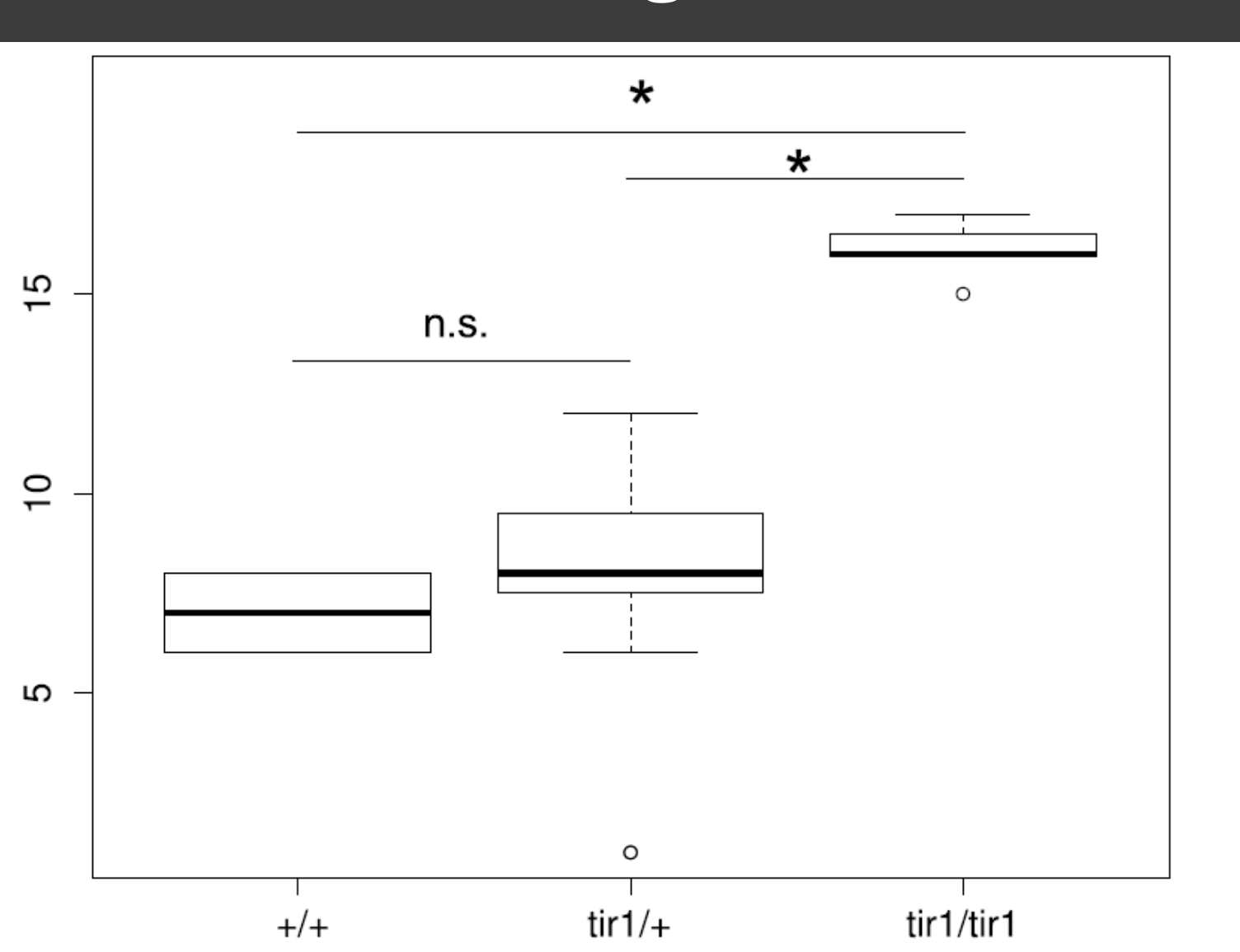
# Ergebnisse: Genetische Charakterisierung der *tir1*-Mutanten

Schlussfolgerung der Arbeitsgruppe:

- Heterozygote sind etwas resistent
- Homozygote sind vollresistent
- Verschiedene Allele oder Kombinationen von Allelen ergeben verschiedene Resistenzgrade

=> TIR1 wird "semidominant" vererbt (?)

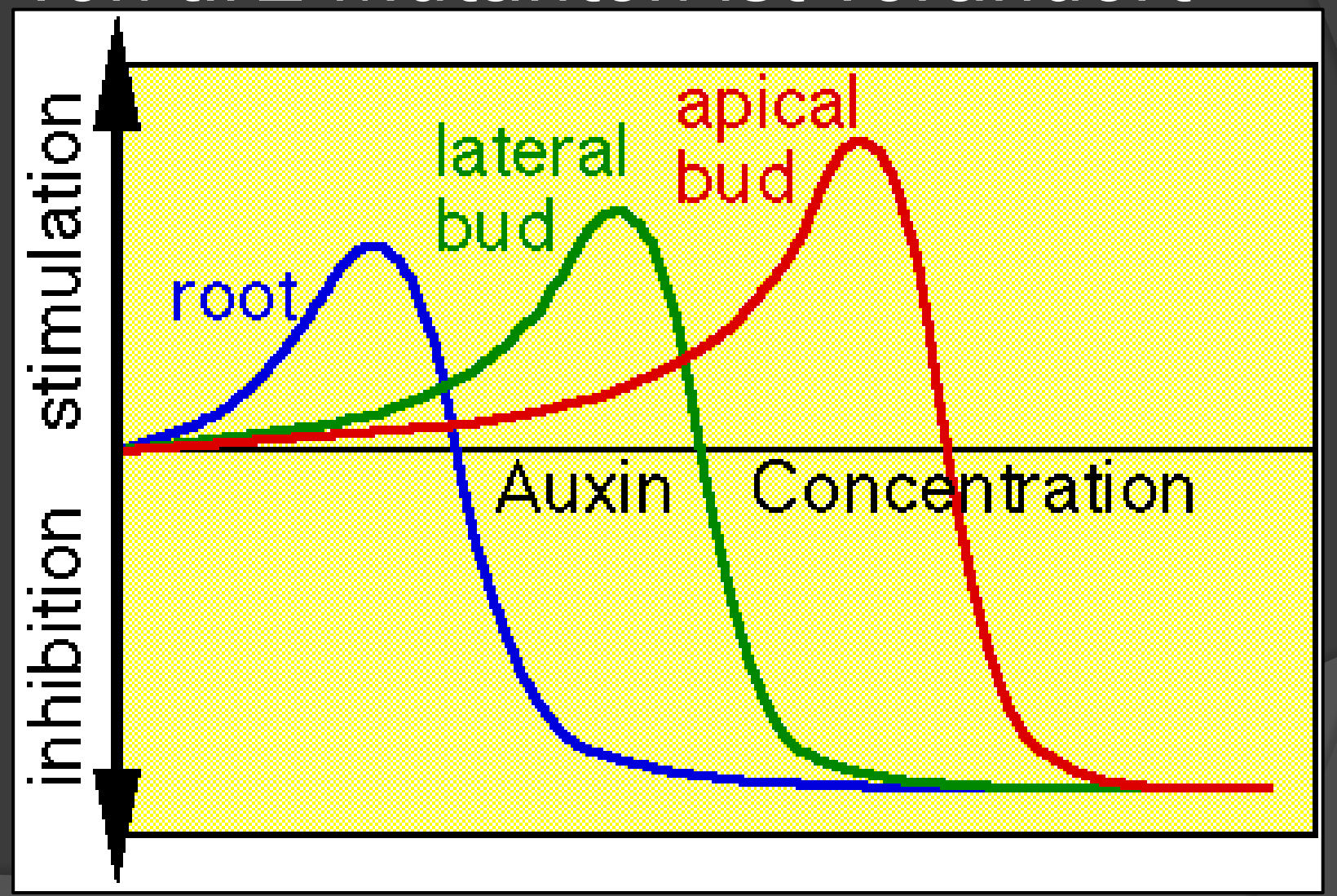
### Ergebnisse: Genetische Charakterisierung der tir 1-Mutanten



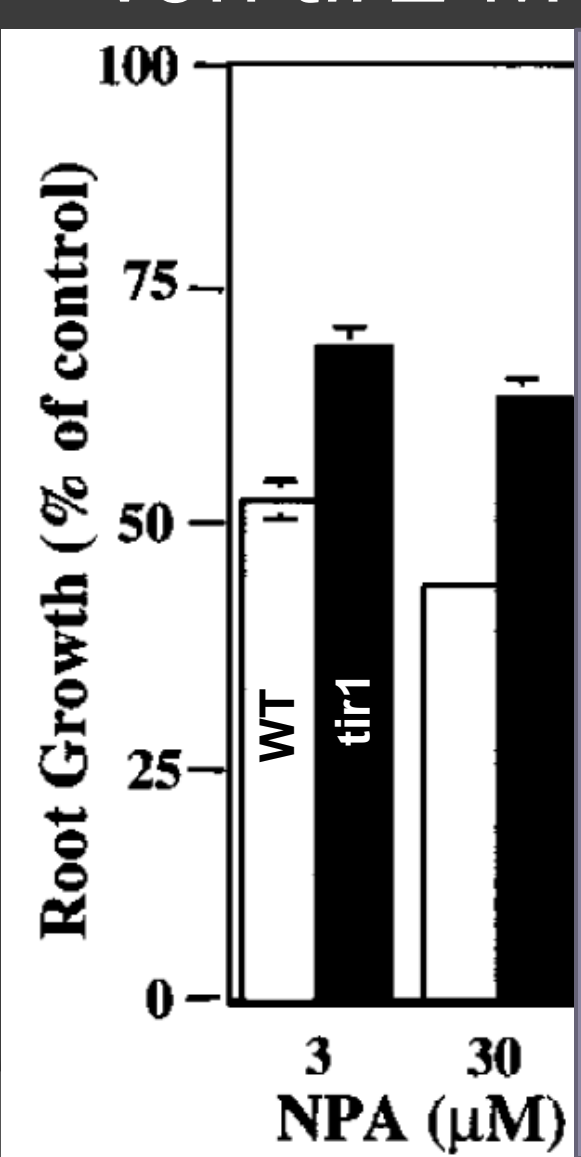
Dieselben Daten in einem Boxplot zeigen:
Heterozygote zeigen Wildtyp-Phänotyp.
=> Also in Wirklichkeit: dominant-rezessive Vererbung

<u>1-faktorieller</u> <u>ANOVA + Tukey</u> <u>HSD-Test</u>

## Erinnerung zu: Die Auxin-Antwort von *tir1*-Mutanten ist verändert

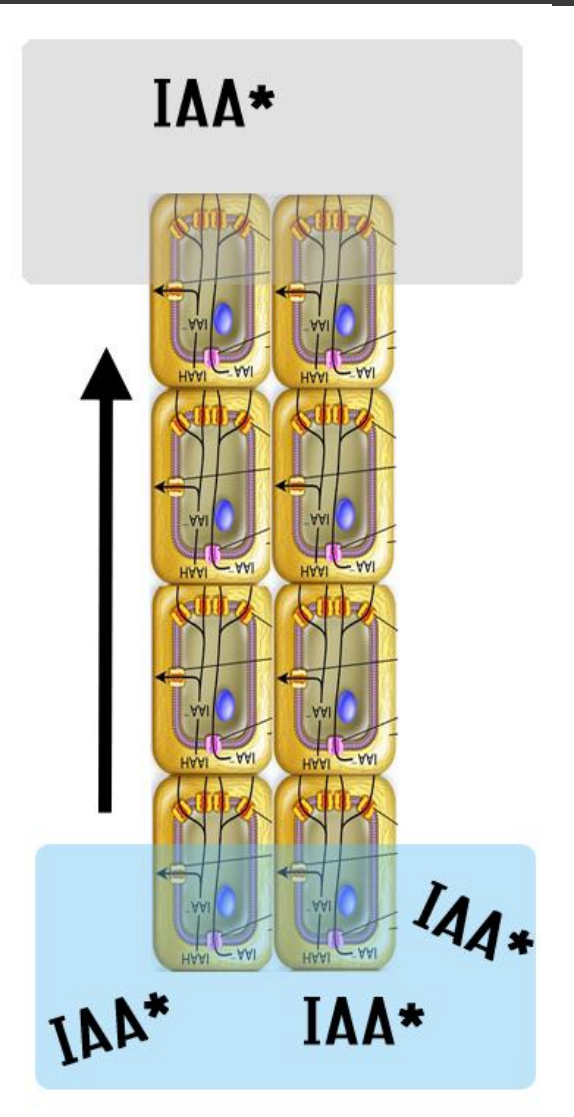


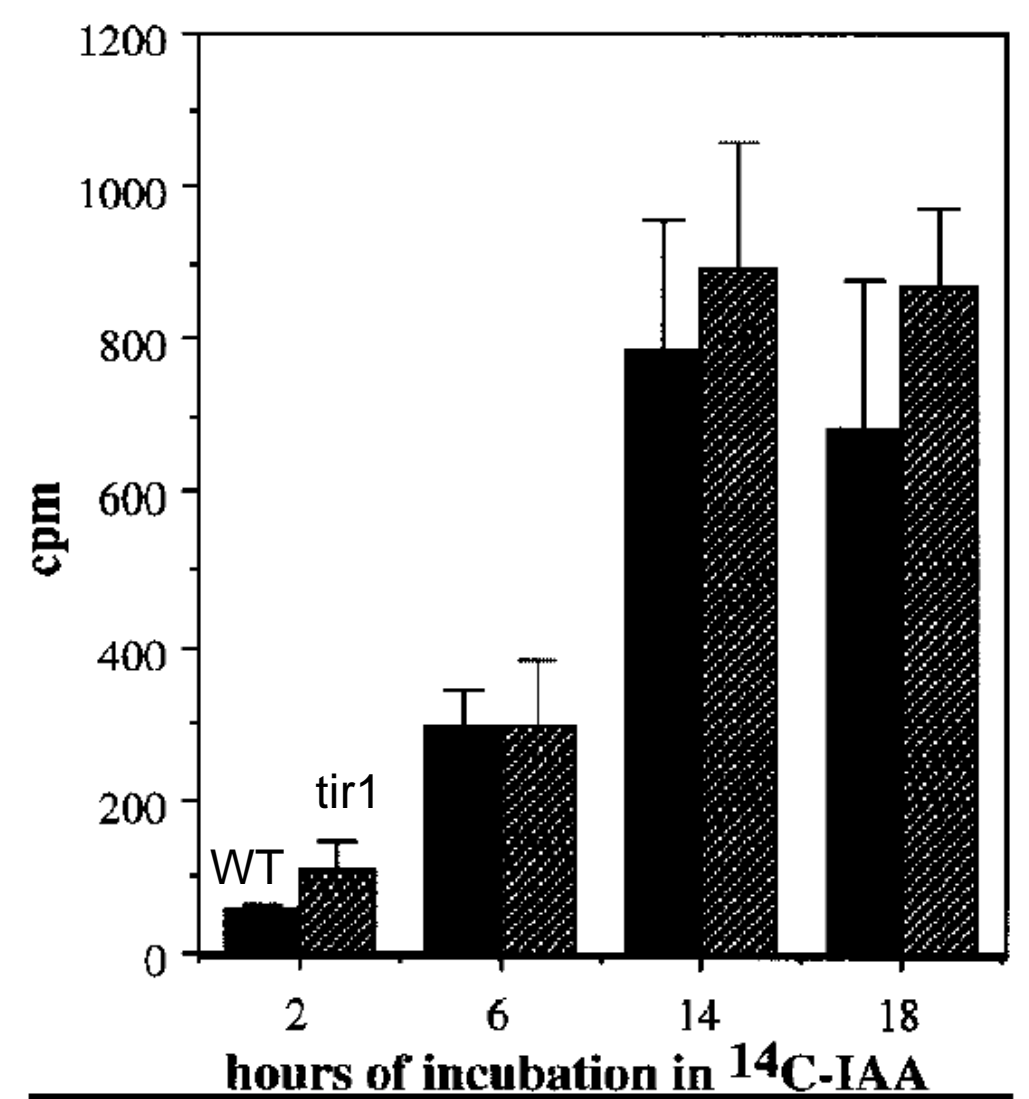
### Ergebnisse: Die Auxin-Antwort von *tir1*-Mutanten ist verändert



- NPA: tir1 zeigt~25% mehrWurzelwachstum
- IAA/2,4-D:
   *tir1* weniger
   sensitiv zu
   Wachstums inhibierung im
   Vergleich zu
   WT

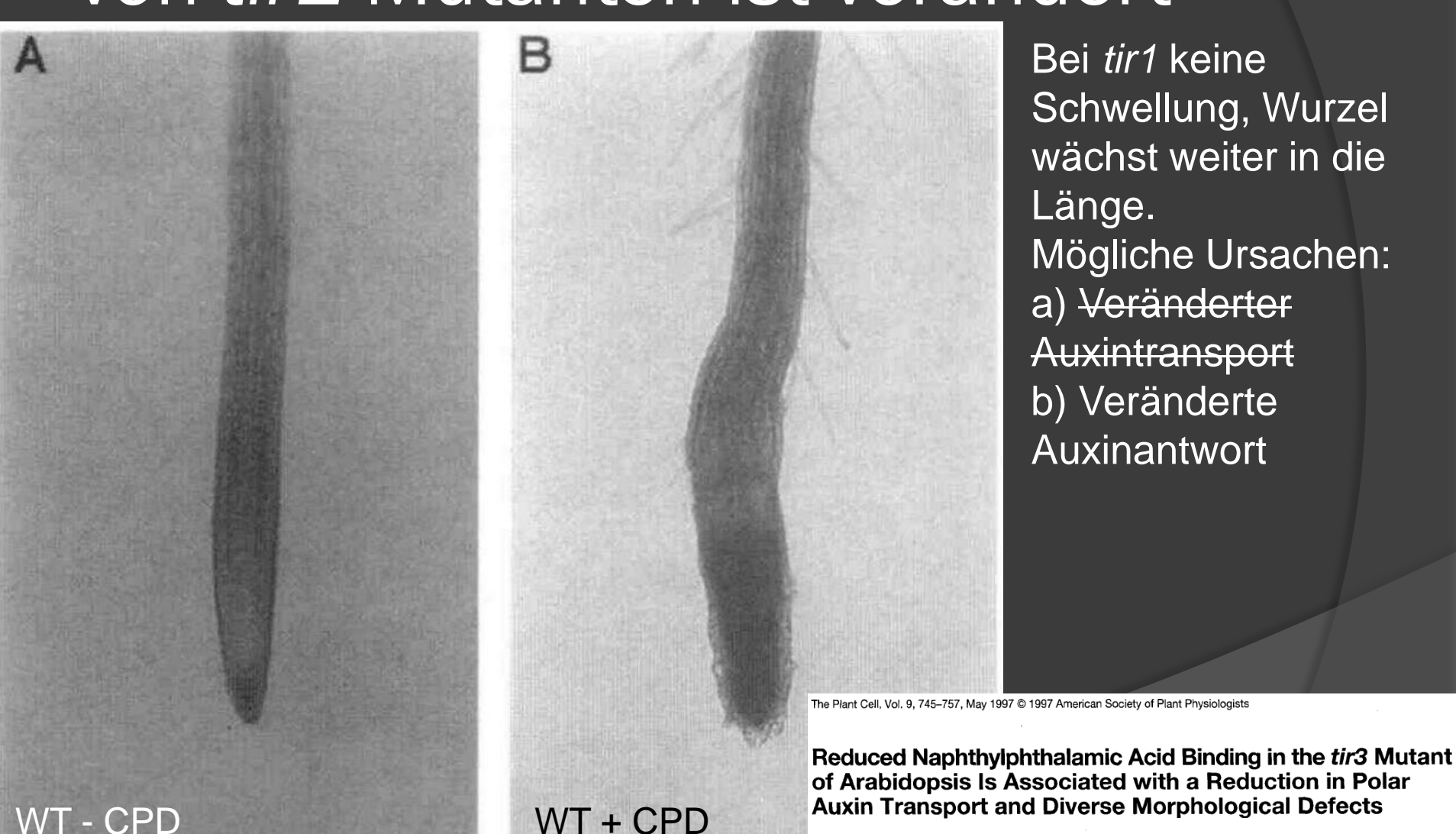
## Ergebnisse: Die Auxin-Antwort von *tir1*-Mutanten ist verändert



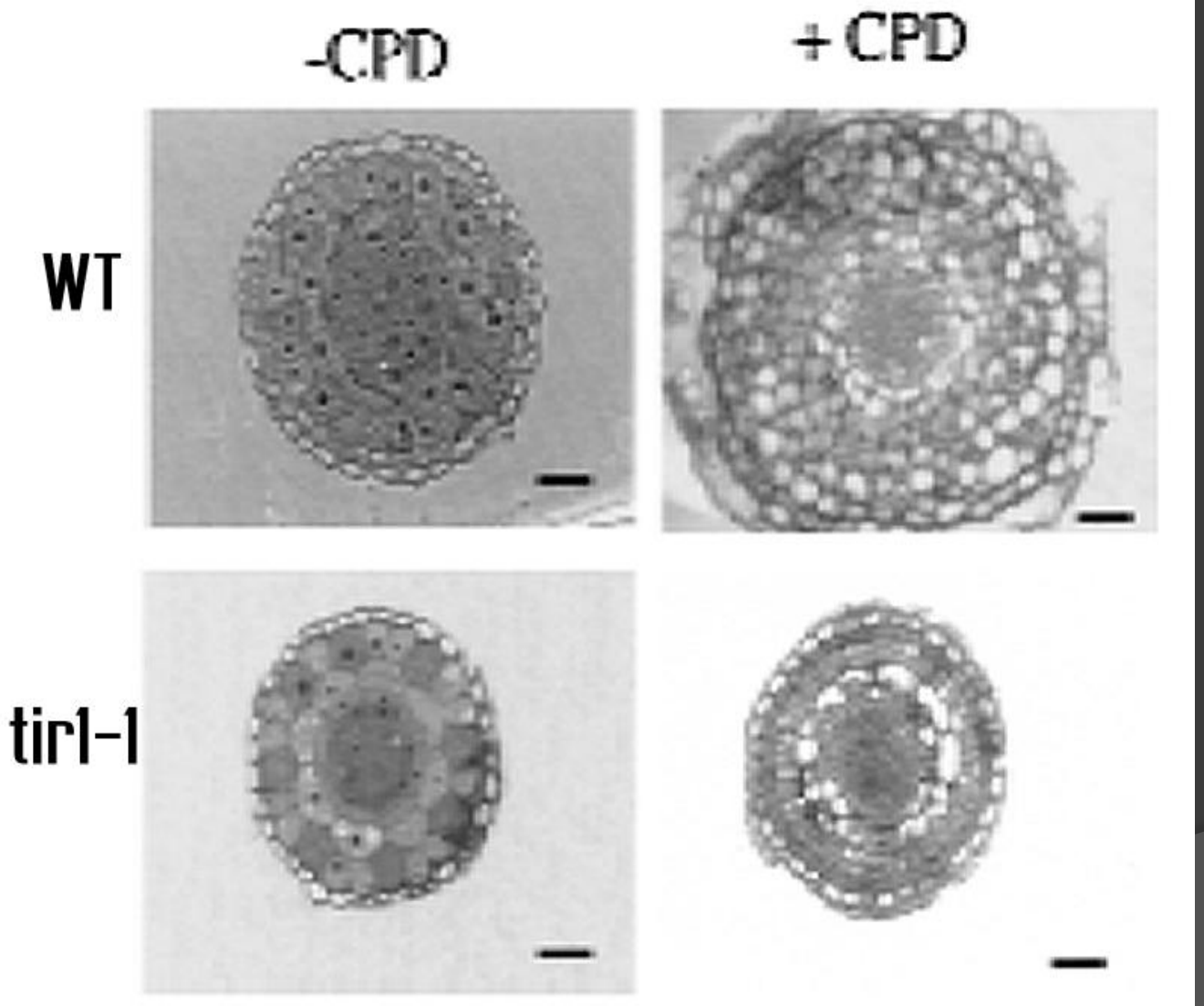


=> tir1 ist nicht am Auxin-Transport beteiligt

## Ergebnisse: Die Auxin-Antwort von *tir1*-Mutanten ist verändert



### Ergebnisse: *tir1* zeigt verminderte Zellvermehrung auf Auxin-Transport-Inhibitoren

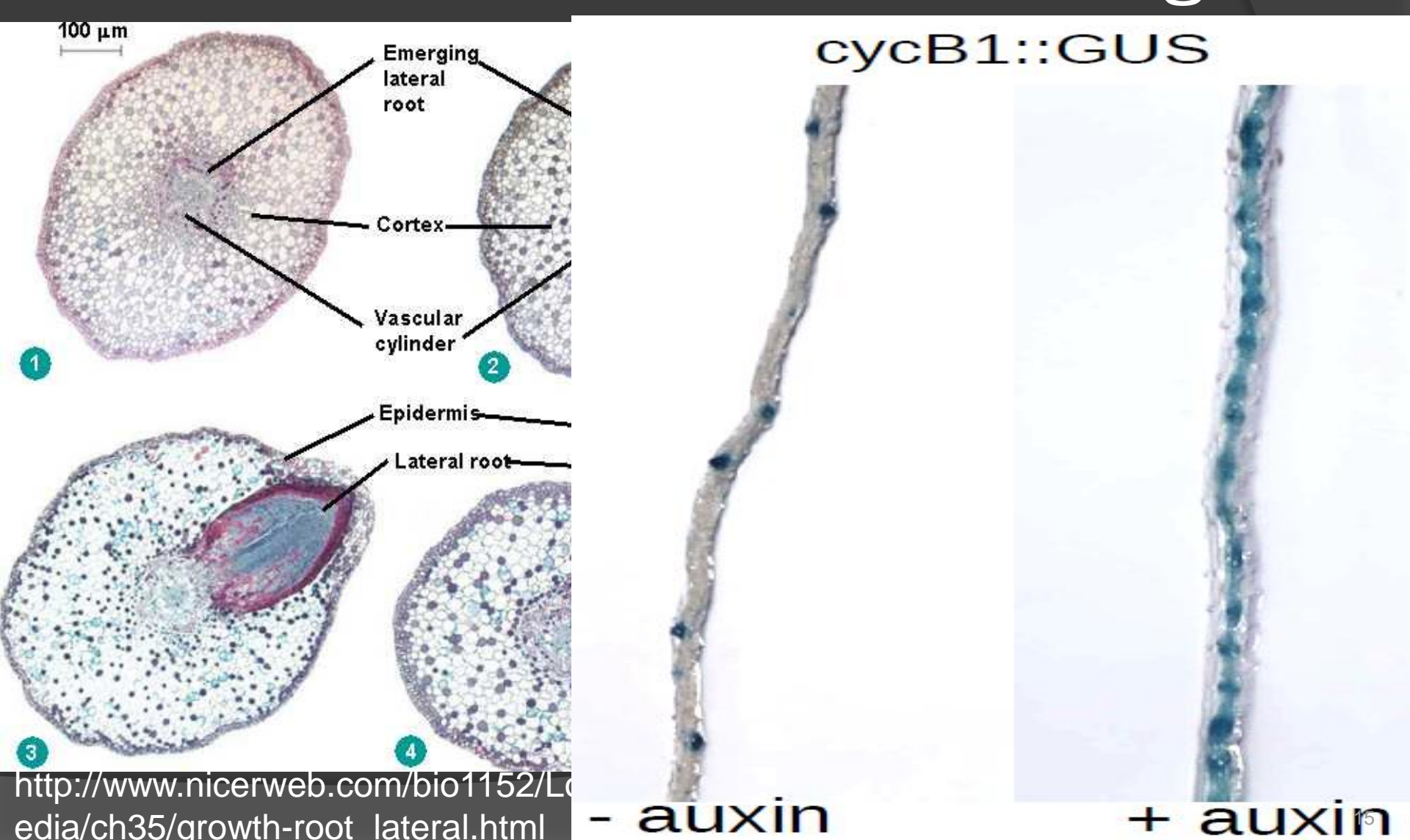


300 µm oberhalb der Wurzelspitze wurden Querschnitte angefertigt.

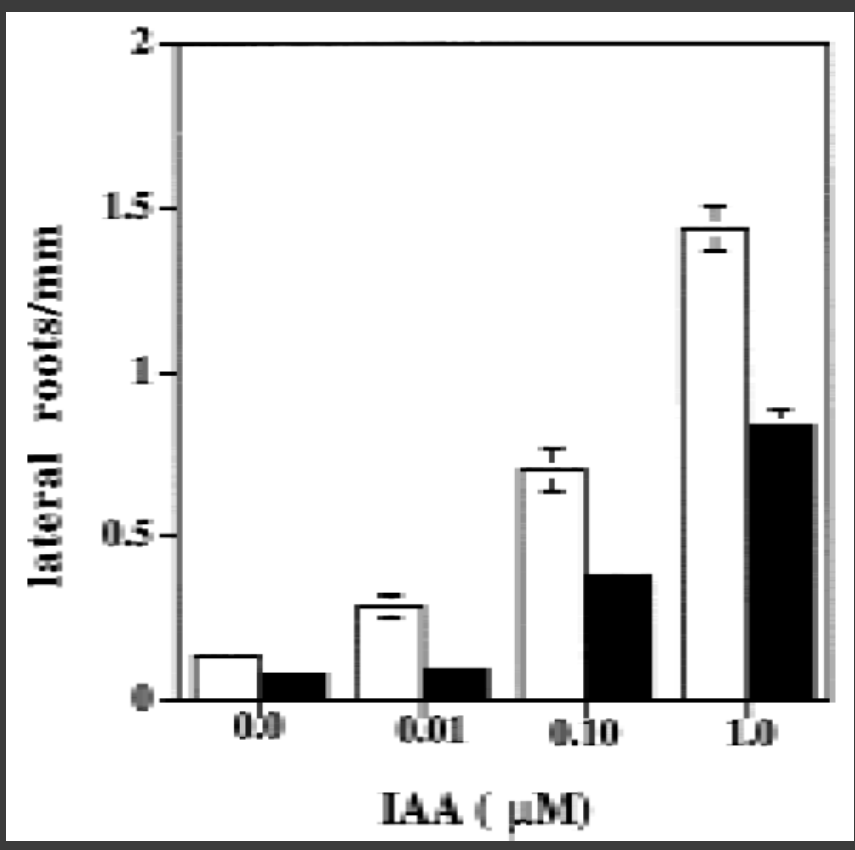
WT: Deutlicher Anstieg der Zellzahl/Zellgröße

•tir1: Etwas, aber wenig Reaktion auf lokale Anreicherung von Auxin.

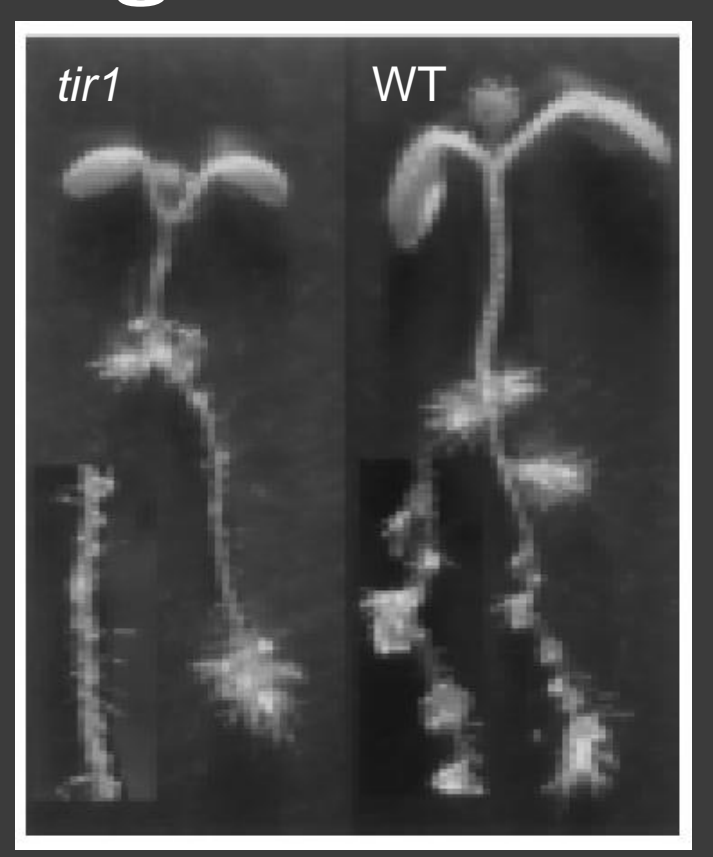
# Erinnerung zu: tir1 spielt eine Rolle bei der Seitenwurzelbildung



# Ergebnisse: *tir1* spielt eine Rolle bei der Seitenwurzelbildung

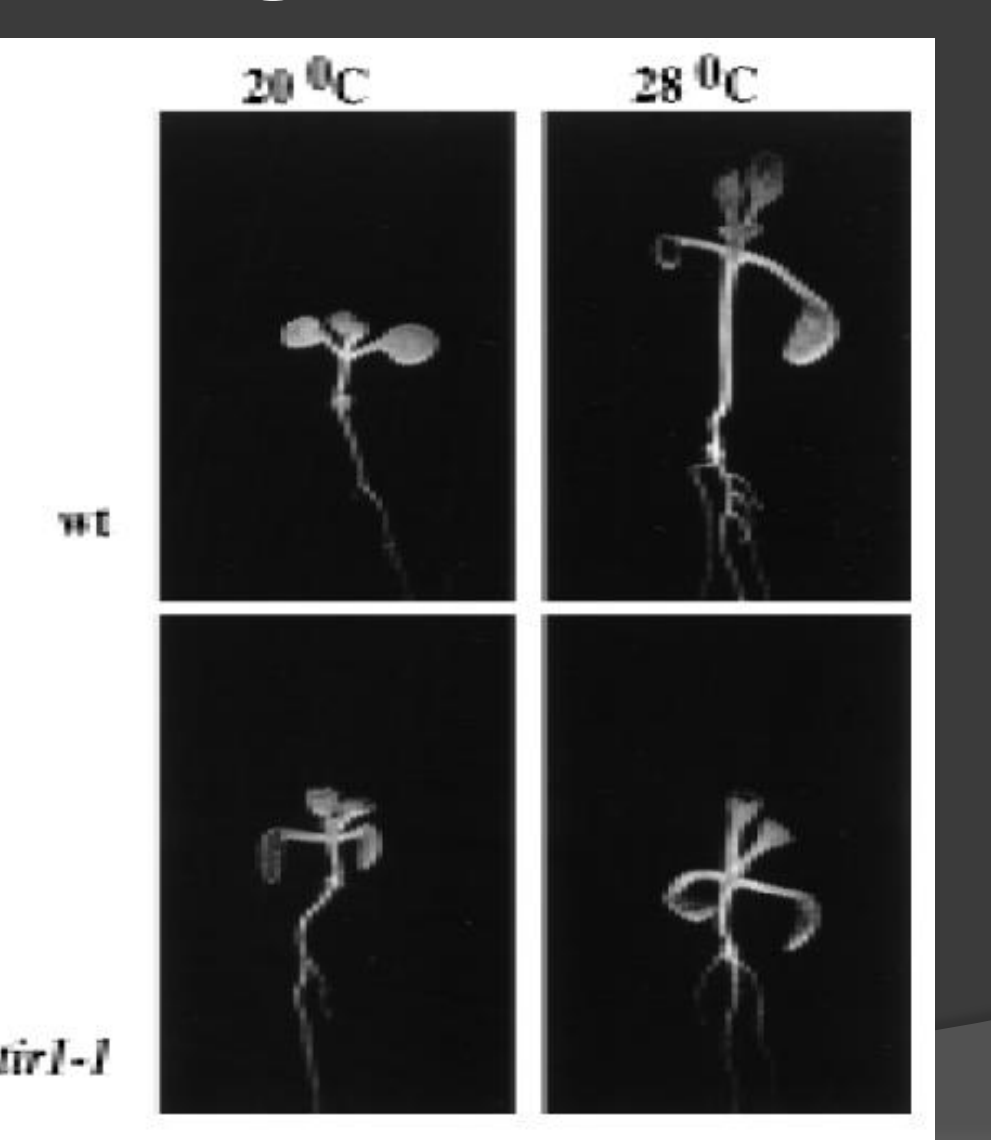


ού ού1 ο.10
IAA (μΜ)
Seitenwurzeln /
Gesamtlänge Wurzel



Frage: Who is who?

# Ergebnisse: *tir1* ist in der Zell-Längenwachstumsantwort gestört



Unter Mäßig-LichtBedingungen und im
Vergleich 20°C zu
28°C zeigt *tir1* eine
stark verringerte
Reaktion im
Vergleich zum
Wildtyp.

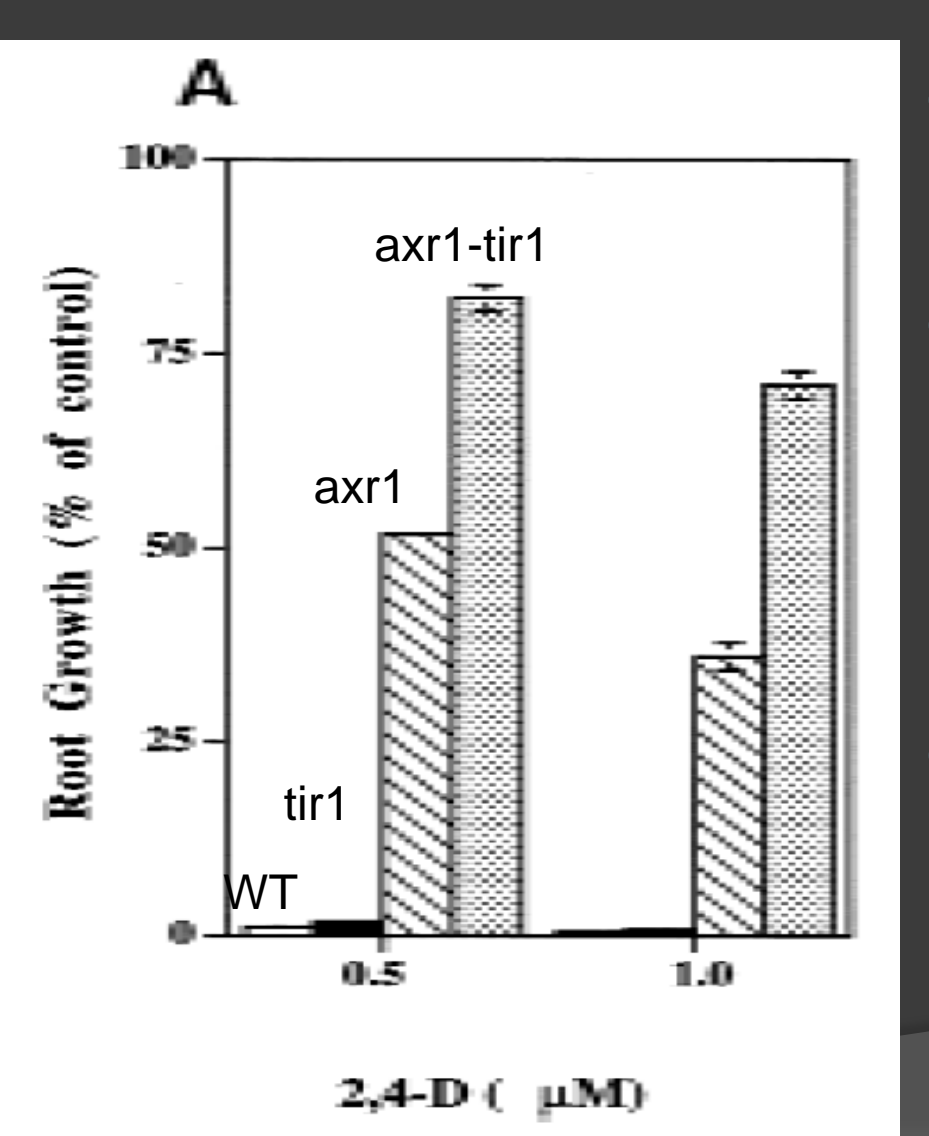
| 28°C      | WT    | Tir1  |
|-----------|-------|-------|
| Hypokotyl | 3,7 x | 2,6 x |
| Zellen    | 4,5 x | 2,2 x |

### Ergebnisse: *tir1-axr1*-Doppelmutanten zeigen additive Interaktion



- WT und tir1zeigen +-denselbenPhänotyp
- axr1 zeigt typisch buschigen, kleineren Phänotyp
- axr1-tir1 sind ähnlich axr1, aber kleiner

### Ergebnisse: *tir1-axr1*-Doppelmutanten zeigen additive Interaktion

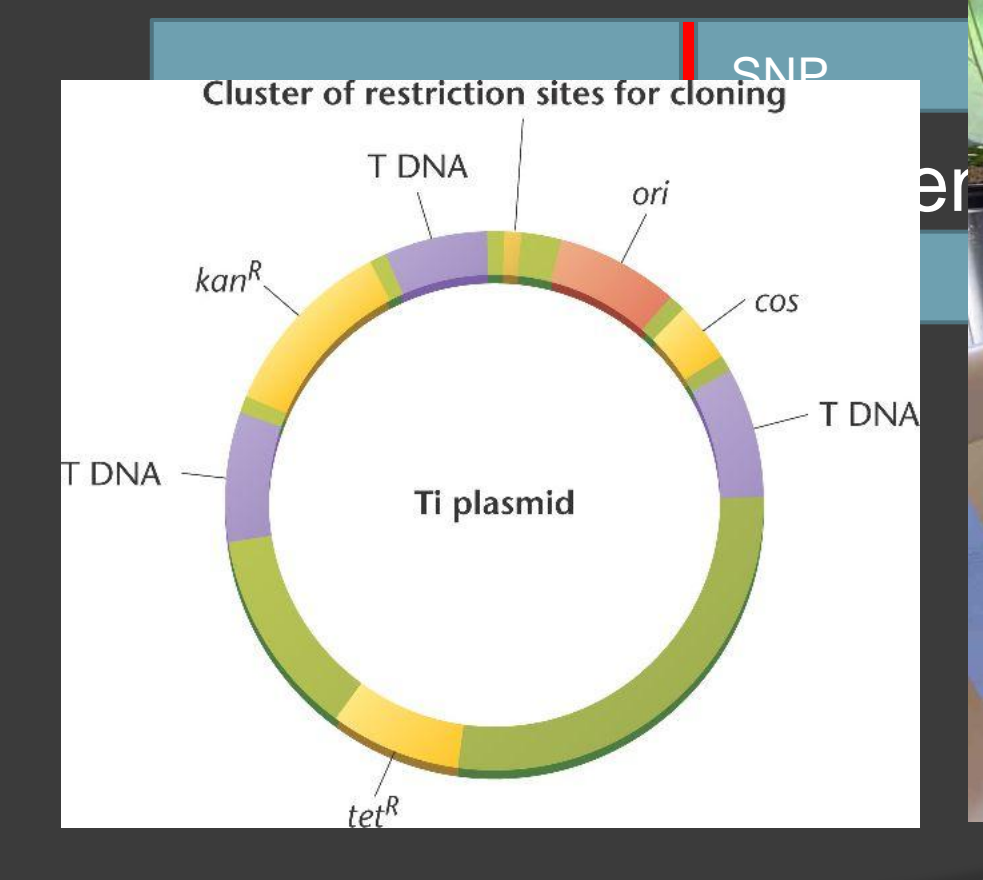


- tir1 alleine reagiert wieWT
- tir1 und axr1 zusammen zeigen eine stärkere Reaktion als axr1 alleine
- Kritik: Keine geringere Konzentration getestet

Ergebnisse: Isolation des TIP1-Gens

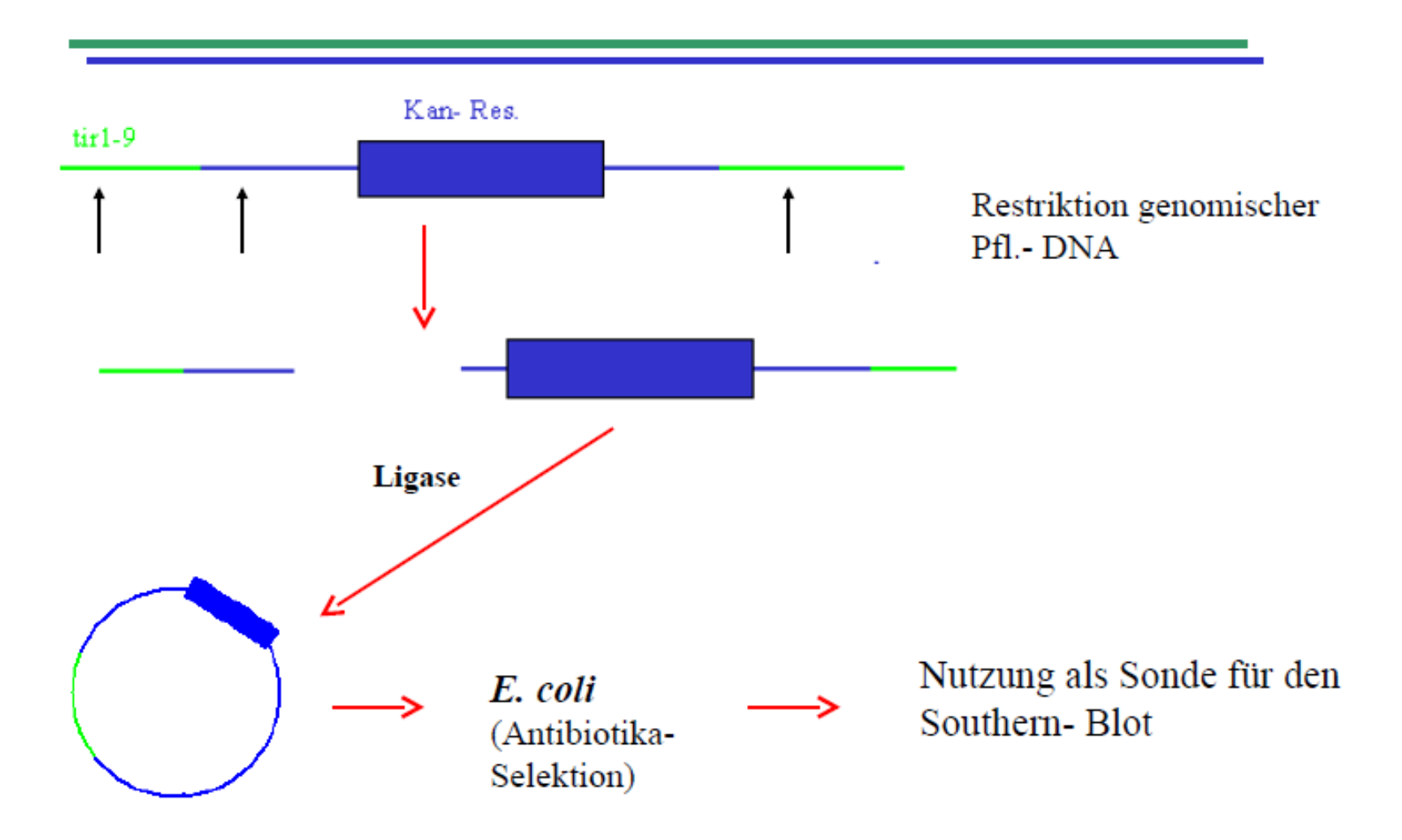
Methode:

Bisher: EMS-Mutanter



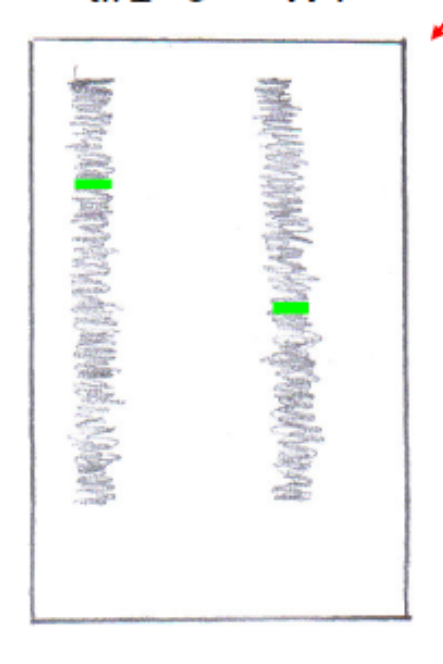


### Isolierung des *TIR1* Gens mittels T- DNA Insertion



### Isolierung des *TIR1* Gens mittels T- DNA Insertion

tir1-9 WT



- dient als Kontrolle:
- Ergebnis: Längenpolymorphismus
- das bedeutet der Plasmid ist als Sonde geeignet
- das gleiche für cDNA- Bank (Nutzung der Sonde)
- bei der E.coli Kolonie bei der eine Bande auftritt ist das gesuchte Gen (cDNA)

### Ergebnisse: Isolation des TIR1-Gens Methode:

• Bisher: EMS-Mutanten = tir1-1

TIR1-Gensequenz

SNP

Jetzt: T-DNA-Mutanten = tir1-9

TIR1-Genstück

>5 kb T-DNA (empty vector, gescreent)

Plasmid rescue => 2,2kb Fragment von TIR1

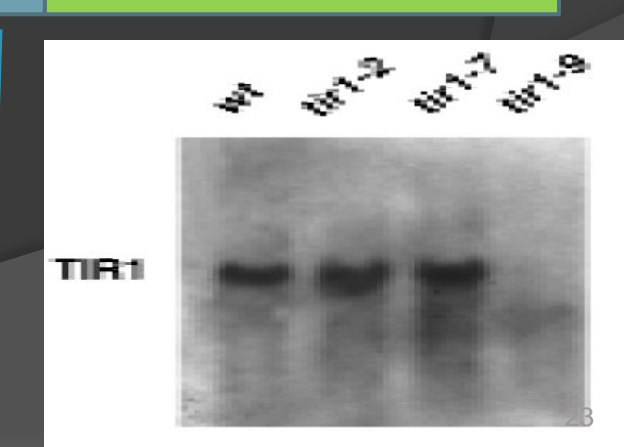
Bekannte EcoRI/SalI-Schnittstelle

TIR1-Genstück

Zufällige Schnittstelle

 RNA-Exktraktion aus tir1-1-, blotten mit tir1-9 Sonde

TIR1-Genstück



### Ergebnisse: Isolation des *TIR1*-Gens Methode:



- Komplementation von tir1-Mutant mit TIR1-cDNA und 35S-Promotor
- Normale Reaktion auf 2,4.D ist wiederhergestellt. Es wurde also das richtige Gen gefunden!

### Ergebnisse: TIR1 besitzt LRR-und F-Box-Domänen

```
9 FPETVLEHVESFIQLDKDRNSVLSVCKSTTELERWCRRKVF
TIR1
         112 DPD LL LG FESCLCL.PELLKVSGVCFRUYRLA..SDESLW
SKP2
         320 DPSEITHLIEDKLNQKYDIVKELTVSKLUAWTIV.KIL.YY
Grr1
          60 LPK-VILKVFSFLDT.KALCRSAQVCKSFSILA..LDGSNW
C02F5.7
             JPP LLDRVIAFLPP.PAFFRTRCVCKRFYSLL..FSNTFL
UFO
             LPQKLIDRIIACLPP.PAFFRSRSVCKRTYSLI..FSTTFL
FIM
Cyclin F 35 LPEDVLFHILKWLSVE.DILAVRAVHSQLKD.VD.NHASVW
         278 LPFEISLKIENYLQFE. DIINELGVSQNUNKLIR. KSTSLW
Cdc4
Consensus
             LP-ELL--IF--L---Da--a--VCK-WY-La----a-
                     VL
```

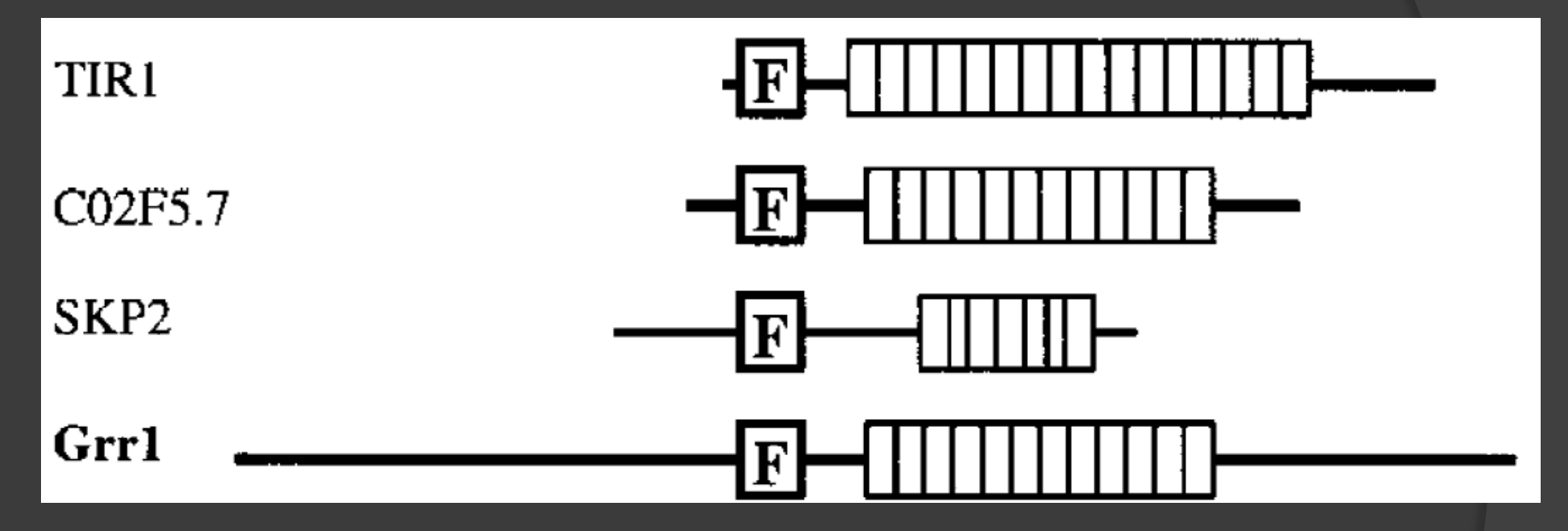
 Ähnliche Proteine sind regulatorischer Natur und binden SKP1 mithilfe der sogenannten F-Box

#### Ergebnisse: TIR1 besitzt LRRund F-Box-Domänen

```
95
     WIEAMSSSYTWIEEIRIK
     RM. VVTDDCLELIAKSFKNFKVLVLSSCEGFSTD
114
     GLAAIAATCRNEKEEDLRESDVDDVSGH
147
175
     WUSHEPDTYTS VSLNISCLASEVSFS
     ALERIVTROPNIKSIKINRAVPLEKLA
202
229
     TILQRAPQLEELGTGGYTAEVRPDVYS
     GUSVALSGCKELRCESGFWDAVPA
256
     YLPAVYSVCSRLTTLNLSYATVQSY
280
     DUVKILCOCPKLORLWVLDYIEDA
305
329
     GLEVIASTCKD RELEVIPSEPFVMEPNVALTEQ
     GLVSVSMGCPKLESVLYFCRQMTNA
363
388
     ALITTARNRPNMTRERECTTEPKAPDYLTLEPLDI
     GFGAIVEHCKDLRRLSLSGLLTDKVFE
423
450
     YIGTYAKKMEMLSVAFAGDSDL
472
     GMHHVLSGCDSERKEEERDCPF
     GDKALLANASKLETMRSLWMSSCS
494
Con: .L..a...C..L..L.a.....
```

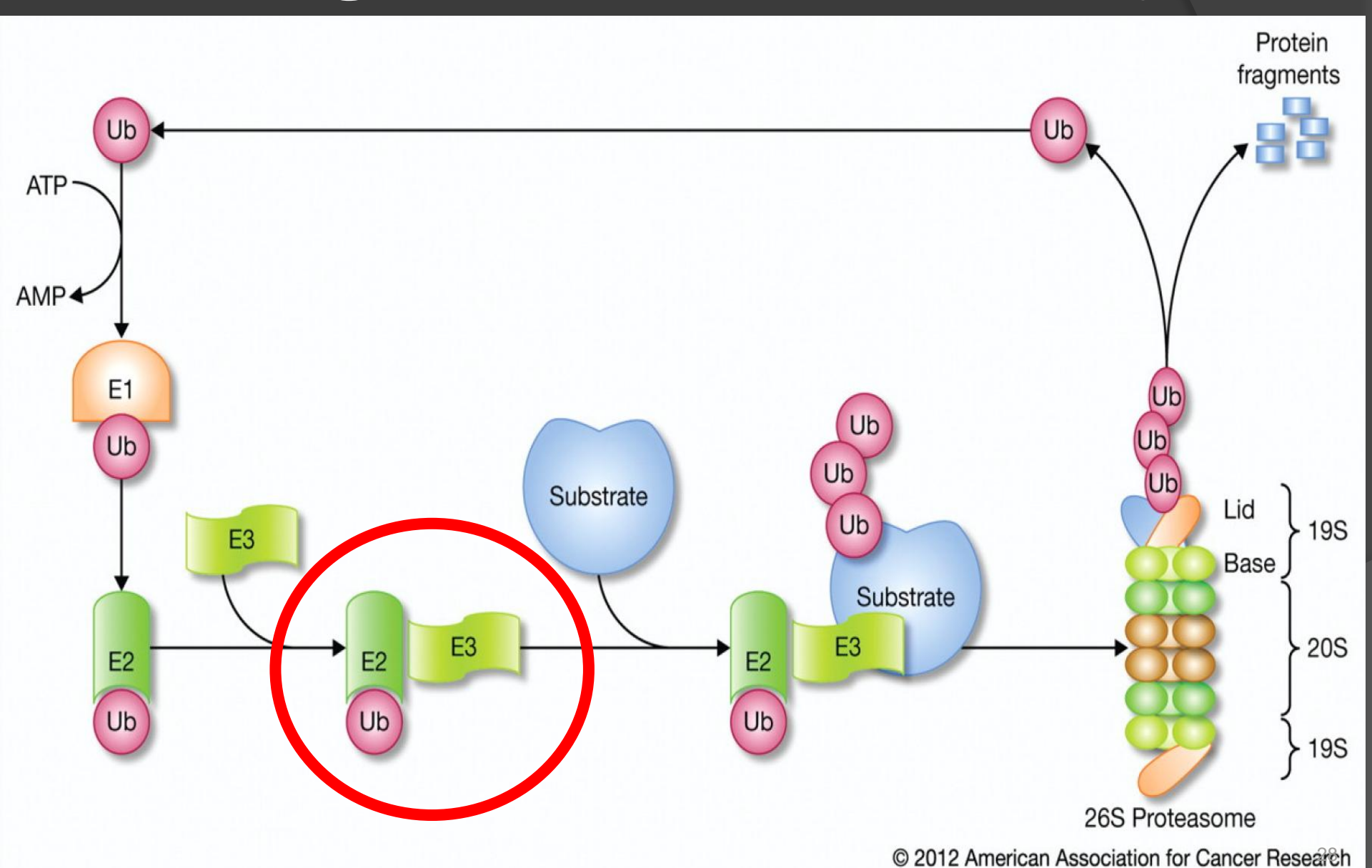
- Unter Proteinen häufiges, durch seine Struktur spezifisches Motiv
- Tir1 hat 16 degenerierte Leucine-richrepeats
- Recherche...

### Ergebnisse: TIR1 besitzt LRR-und F-Box-Domänen



 Einige Proteine mit ähnlicher LRR-Domäne besitzen ebenfalls F-Boxen und sind fähig, einen Ubiquitin-Protein-Ligase-Complex namens SCF zu bilden.

#### Erinnerung: Ubiquitin-Proteasom-System



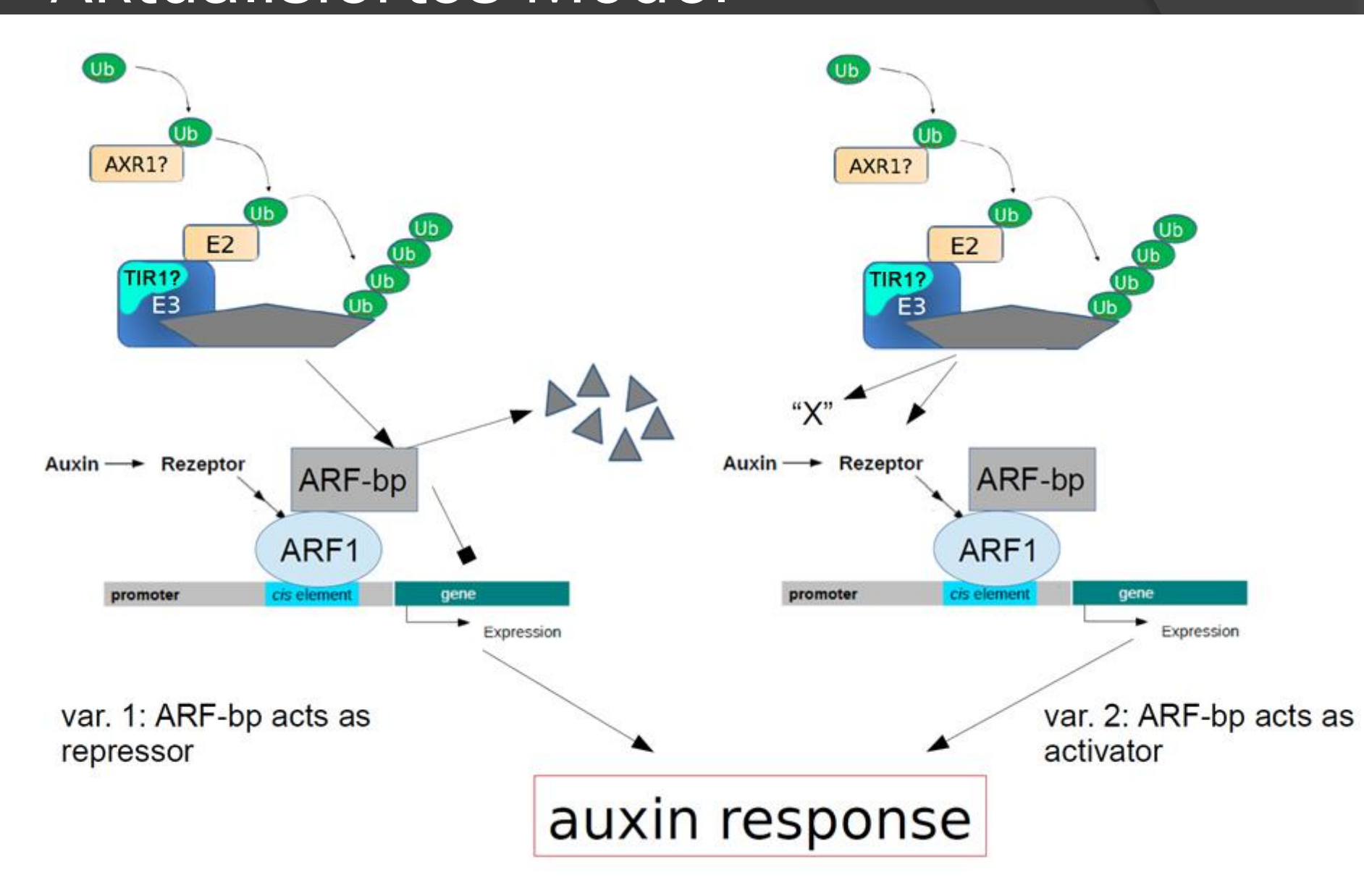
#### Zusammenfassung

- Funktionelle Charakterisierung:
  - tir1-Mutanten zeigen verschiedene
     Beeinträchtigungen in der Auxin-Antwort
    - z.B. Seitenwurzelbildung, Zellproliferation,
       Zelllängenwachstum, Wachstumsregulation
  - tir1-axr1-Doppelmutanten zeigen eine additive/synergistische Interaktion
  - TIR1 wird dominant-rezessiv vererbt und seine Funktion ist möglicherweise redundant

#### Zusammenfassung

- Genetische Charakterisierung
  - Lokalisiert auf Chromosom 3, Position 128
  - Besitzt F-Box und LRR-Domäne
  - Ist damit möglicherweise an einem Ubiquitin-Protein-Ligase-Complex beteiligt
  - Weitere Verwandte in Arabidopsis und Reis (LRFs = Leucine-rich-repeats-F-Box)

#### Aktualisiertes Model



#### Vielen Dank für die Aufmerksamkeit!

